

Realizace Dirichletovy podmínky v metodě RKPM

Vratislava Mošová
MVŠO o.p.s.

8. června 2010

Contents

- 1 Úvod
- 2 Aproximace pomocí RKPM
- 3 Jak se vyrovnat s Dirichletovou podmínkou?
- 4 Závěr

Co je RKPM?

- RKPM (Reproducing Kernel Particle Method) - nesítová metoda určená k řešení okrajových úloh.
- RKPM je Galerkinova metoda se speciálně vytvořenými tvarovými funkcemi.
- Kostrukce RKP-tvarových funkcí má základ v approximaci jádra integrální transformace

$$u(x) = \int_{\Omega} K(x, y) u(y) \, dy.$$

Jak vypadá RKPM?

Okrajová úloha

$$-\Delta u = f \text{ na } \Omega \quad (\Omega \subset \mathbb{R}^n)$$

$$u = g \text{ na } \partial\Omega_0$$

$$\frac{\partial u}{\partial n} = h \text{ na } \partial\Omega_1$$

Slabá formulace

$$V_g = \{v \in W^{1,2}(\Omega) | v = g \text{ na } \partial\Omega_0\}$$

Najít $u \in V_g$ tak, aby

$$\int_{\Omega} \nabla u \cdot \nabla v \, dx = \int_{\Omega} fv \, dx + \int_{\Omega_1} hv \, ds \text{ pro } \forall v \in V_0. \quad (1)$$

Jak vypadá RKPM?

Galerkinova metoda

Najít aproximaci $u_h \in V_g^h \subset V_g$, tak aby

$$\int_{\Omega} \nabla u_h \cdot \nabla v_h \, dx = \int_{\Omega} f v_h \, dx + \int_{\partial\Omega_1} h v_h \, ds \text{ pro } \forall v_h \in V_0^h.$$

Contents

- 1 Úvod
- 2 Aproximace pomocí RKPM
- 3 Jak se vyrovnat s Dirichletovou podmínkou?
- 4 Závěr

Konstrukce tvarových funkcí

Co potřebujeme zadat?

- Částice $x_1, \dots, x_N \in \Omega$.
- Řád s polynomiální báze $p(x) = (p_1(x), \dots, p_l(x))$.
- Jednodimensionální váhovou funkci Φ_1 .

Poznámky

- Pro $s = 2$, $x \in \mathbb{R}^3$, je
 $p(x) = (1, x_1, x_2, x_3, x_1x_2, x_1x_3, x_2x_3, x_1^2, x_2^2, x_3^2)$.
- Pro $x \in \mathbb{R}^n$, $x = (x^1, \dots, x^n)$ definujeme
 $\Phi(x) = \prod_{i=1}^n \Phi_1(x^i)$ nebo $\Phi(x) = \Phi_1(\|x\|)$.

Konstrukce tvarových funkcí

Příklady váhových funkcí

$$\Phi_1(x) = \begin{cases} e^{(-x/r)^2} & \text{pro } |x| \leq 1, \\ 0 & \text{pro } |x| > 1, \end{cases}, r > 0$$

$$\Phi_1(x) = \begin{cases} \frac{2}{3} - 4x^2 + 4|x|^3 & \text{pro } |x| \leq \frac{1}{2}, \\ \frac{4}{3} - 4|x| + 4x^2 - \frac{4}{3}|x|^3 & \text{pro } \frac{1}{2} \leq |x| \leq 1, \\ 0 & \text{pro } |x| > 1. \end{cases}$$

$$\Phi_1(x) = \begin{cases} (1 - x^2)^k & \text{pro } |x| \leq 1, \\ 0 & \text{pro } |x| > 1, \end{cases}, k > 1$$

Konstrukce tvarových funkcí

Sestavení tvarových funkcí

Tvarové funkce

$$\Psi_I(x) = p \left(\frac{x - x_I}{\rho} \right) b(x) \Phi \left(\frac{x - x_I}{\rho} \right) \Delta V_I, \quad (2)$$

kde $\rho > 0$, ΔV_I je kvadraturní váha a funkce $b(x)$ je řešení soustavy

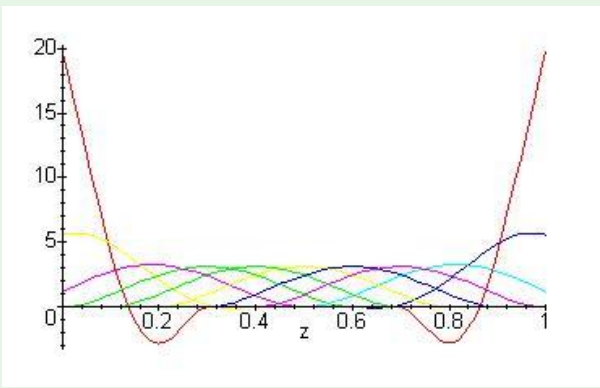
$$M(x)b(x) = p^T(0) \quad (3)$$

s momentovou maticí M o složkách

$$m_{ij} = \sum_{l=1}^N p^T \left(\frac{x - x_I}{\rho} \right) p \left(\frac{x - x_I}{\rho} \right) \Phi \left(\frac{x - x_I}{\rho} \right) \Delta V_I \quad (4)$$

Konstrukce tvarových funkcí

Grafické zachycení tvarových funkcí ψ_i pro
 $N = 11$, $\rho = 0.3$, $p = (1, x)$, $\Phi_1 = (1 - x^2)^2$



Řešení okrajové úlohy

Diskretizace v RKPM

$\Psi_I(x)$ - tvarové funkce. Dosazením $\tilde{u} = \sum_{I=1}^N \Psi_I(x) u_I$ do (1) obdržíme

$$\int_{\Omega} \sum_{I=1}^N \nabla \Psi_I(x) u_I \nabla \Psi_J(x) dx = \int_{\Omega} f \Psi_J(x) dx + \int_{\partial \Omega_1} h \Psi_J(x) ds$$

Tzn. $Au = F$, kde

$$u = (u_1, \dots, u_N)^T, \quad A = (A_{IJ}), \quad A_{IJ} = \int_{\Omega} \nabla \Psi_I \nabla \Psi_J dx,$$

$$F = (F_I, \dots, F_N)^T, \quad F_J = \int_{\Omega} f \Psi_J + \int_{\partial \Omega_1} h \Psi_J$$

Problém

- RKPM nereprodukuje přesně Dirichletovu okrajovou podmínku.
- Proč? V některých bodech na hranici je $\Psi_I(x_J) \neq \delta_{IJ}$.
- Tzn. $\tilde{u}(x_J) = \sum_I \Psi_I(x_J) u_I \neq u(x_J)$ není striktním interpolantem.
- Co se dá dělat?

Contents

- 1 Úvod
- 2 Aproximace pomocí RKPM
- 3 Jak se vyrovnat s Dirichletovou podmínkou?
- 4 Závěr

Metoda váhových funkcí

- Úprava tvarové funkce pomocí funkce

$$w(x) = \begin{cases} 0 & \text{pro } x \text{ blízko hranice } \partial\Omega_0 \\ 1 & \text{pro ostatní } x \end{cases}$$

- **Nevýhody:**

Někdy přidaná funkce w zhorší hladkosť řešení.
Komplikuje se kód algoritmu.

- **Výhody:**

Jednoduchost základní myšlenky.

Transformační metoda

- RKP approximace $\tilde{u}(x) = \sum_{I=1}^N \Psi_I(x) u_I$. Mezi reálnými hodnotami approximace $\tilde{u}(x_J)$ a fiktivními uzlovými parametry u_I platí

$$\tilde{u}(x_J) = \sum_{I=1}^N \Psi_I(x_J) u_I.$$

Označme $T_{IJ} = \Psi_I(x_J)$, pak $\tilde{u} = Tu$.

Pokud $T = (T_{IJ})$ je regulární, existuje T^{-1} tak, že $T^{-1}\tilde{u} = u$ t.j.

$$\sum_{J=1}^N T_{JI}^{-1} \tilde{u}_J = u_I$$

Transformační metoda

- Pro approximaci $\tilde{u}(x)$ pak máme

$$\begin{aligned}\tilde{u}(x) &= \sum_{I=1}^N \Psi_I(x) u_I = \sum_{I=1}^N \Psi_I(x) \sum_{J=1}^N T_{JI}^{-1} \tilde{u}_J = \\ &= \sum_{J=1}^N \left(\sum_{I=1}^N \Psi_I(x) T_{JI}^{-1} \right) \tilde{u}_J = \sum_{J=1}^N \tilde{\Psi}_J(x) \tilde{u}_J.\end{aligned}$$

Transformační metoda

- **Nevýhody:**

- T nesmí být singulární.

- Matice T je plná.

- **Výhody:**

- Metoda dává globální výsledky.

- Funkce $\tilde{\Phi}_J(x)$ mají vlastnost Kroneckerova delta.

- Dirichletova podmínka je splněna přesně.

Metoda Lagrangeových multiplikátorù

- Zabudování Dirichletovy podmínky do slabé formulace problému.

$$\int_{\Omega} \nabla u \cdot \nabla v \, dx - \int_{\Omega} fv \, dx - \int_{\partial\Omega_0} \lambda v \, ds - \int_{\partial\Omega_1} hv \, ds = 0$$

$$\int_{\partial\Omega_0} (u - g) \, ds = 0$$

- Nevýhody:**

Větší počet proměnných.

Dirichletova podmínka není splněna přesně.

- Výhody:**

Lze použít pro libovolný variační přístup.

Contents

- 1 Úvod
- 2 Aproximace pomocí RKPM
- 3 Jak se vyrovnat s Dirichletovou podmínkou?
- 4 Závěr

Shrnutí

- RKP-tvarové funkce a Kroneckerova podmínka
- Řešení problému
 - [i] Metody založené na změně váhové funkce (metoda váhových funkcí, transformační metoda).
 - [ii] Metoda, která vychází z variační formulace (metoda Lagrangeových multiplikátorů).

Literatura

- I. Babuška, U. Banerjee, J.E. Osborn, Survey of meshless and generalized finite element methods: An unified approach, *Acta Numer.* (2003) 1-125
- J.S. Chen, C. Pan, C.T. Wu, W.K. Liu, Reproducing kernel particle methods for large deformation analysis of non-linear structures, *Comput. Methods Appl. Mech. Engrg.* 139 (1996) 195-227
- J.S. Chen, C. Pan, C.T. Wu, Large deformation analysiss of rubber based on a reproducing kernel particle methods, *Comput. Mech.* 19 (1997) 211-227
- W.K. Liu, S. Jun, S. Li, J. Adee, T. Belytschko, Reproducing Kernel Particle Methods for Structural Dynamics, *Internat. J. Numer. Methods Engrg.* 38 (1999) 1655-1679
- J.J. Monaghan, Why Particle Methods Work. *Sci. Stat. Comput.* 3, No. 4 (1982) 422-433

Děkuji za pozornost.

[email:vratislava.mosova@mvso.cz](mailto:vratislava.mosova@mvso.cz)



Metoda Lagrangeových multiplikátorù



$$F(u, \lambda) = \int_{\Omega} \left(\frac{1}{2} (\nabla u)^2 - fu \right) dx - \int_{\partial\Omega_1} hu ds - \int_{\partial\Omega_0} \lambda(u-g) ds$$

$$\int_{\Omega} \nabla u \cdot \nabla v dx + \int_{\partial\Omega_0} u ds + \int_{\partial\Omega_0} \lambda v ds$$

$$= \int_{\Omega} fv dx + \int_{\partial\Omega_1} hv ds + \int_{\partial\Omega_0} g ds$$

Metoda Lagrangeových multiplikátorů

- Obržíme soustavu lineárních rovnic $Au = F$, kde

$$u = (c_1, \dots, c_N, \lambda)^T, \quad A = \begin{pmatrix} H & G \\ G^T & 0 \end{pmatrix}$$

$$H_{IJ} = \int_{\Omega} (\nabla \Psi_I \cdot \nabla \Psi_J + \nabla \Psi_I), \quad G_I = \int_{\partial \Omega_0} \Psi_I$$

$$F_I = \int_{\Omega} f \Psi_I + \int_{\Omega_1} h \Psi_I + \int_{\partial \Omega_0} g$$